

FIG. 1

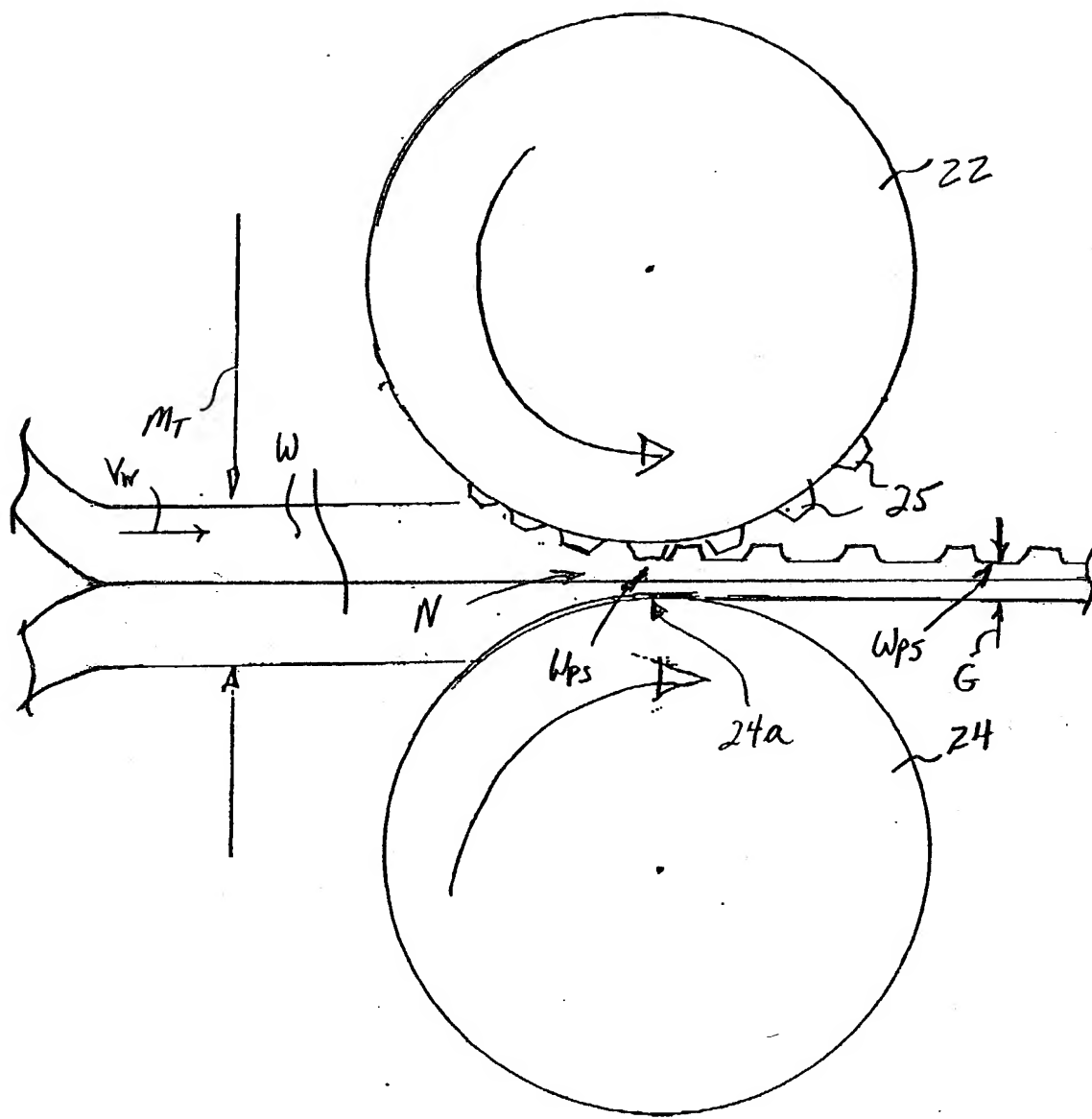


Fig. 1A

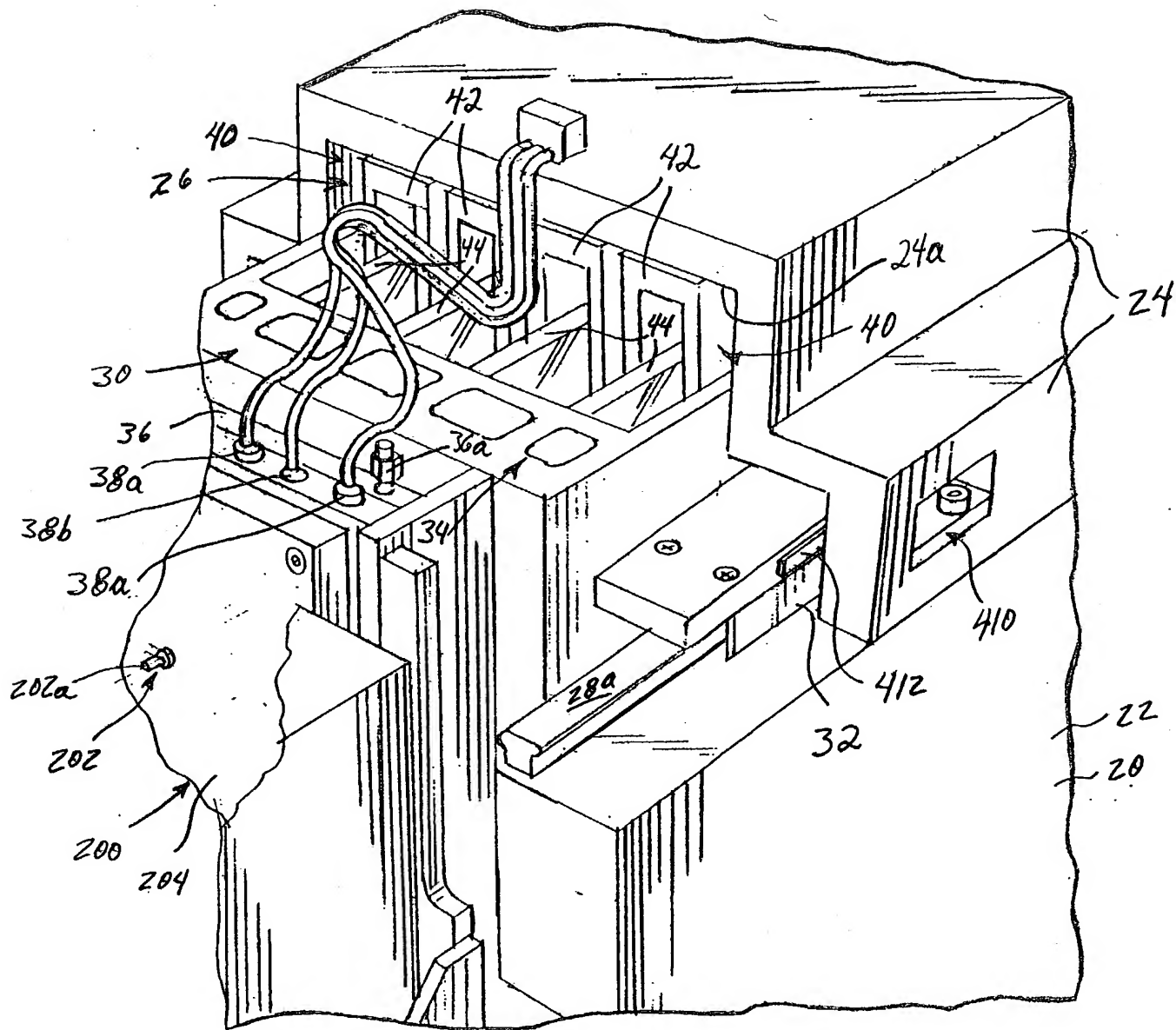


FIG. 2A

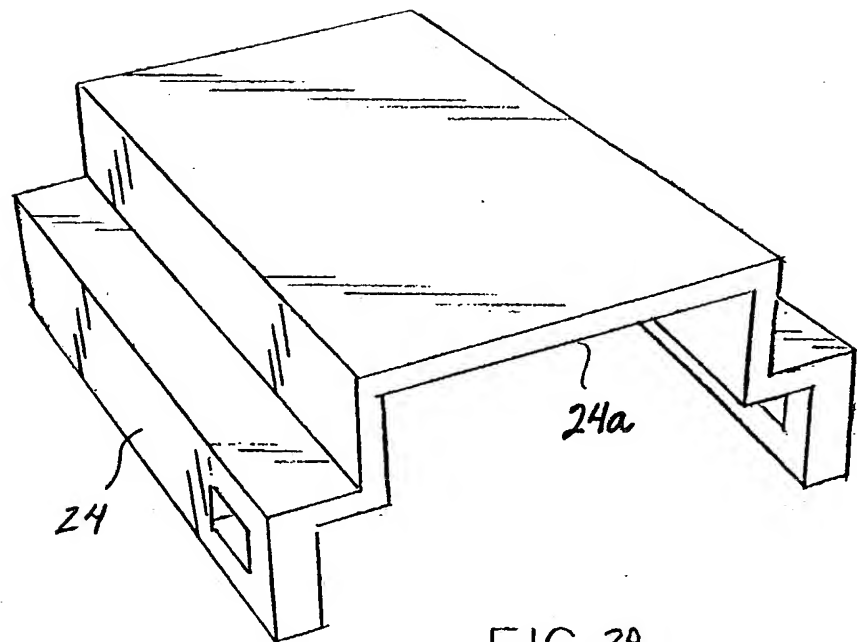


FIG. 2B

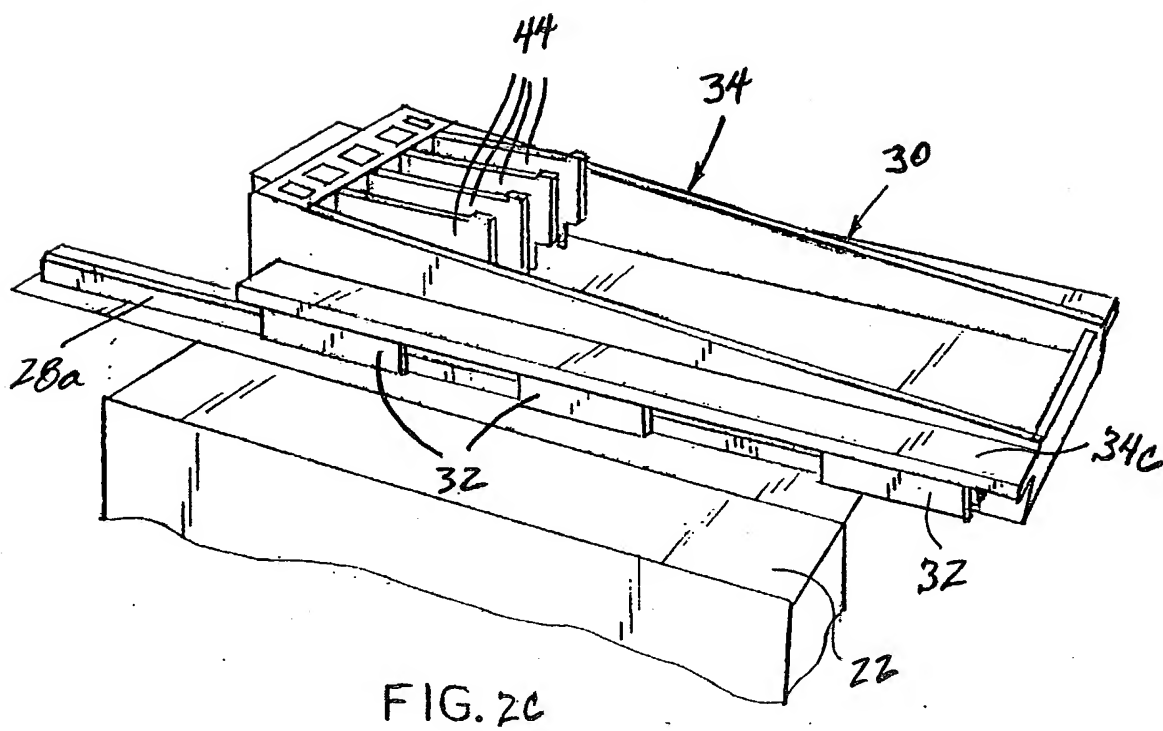
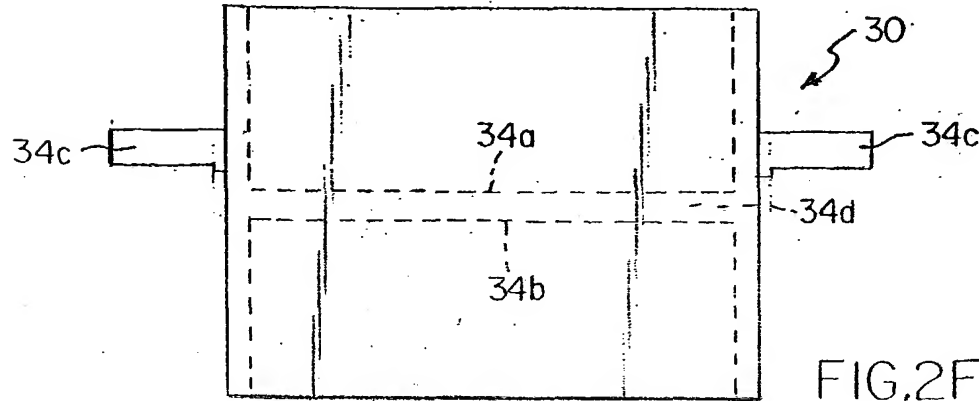
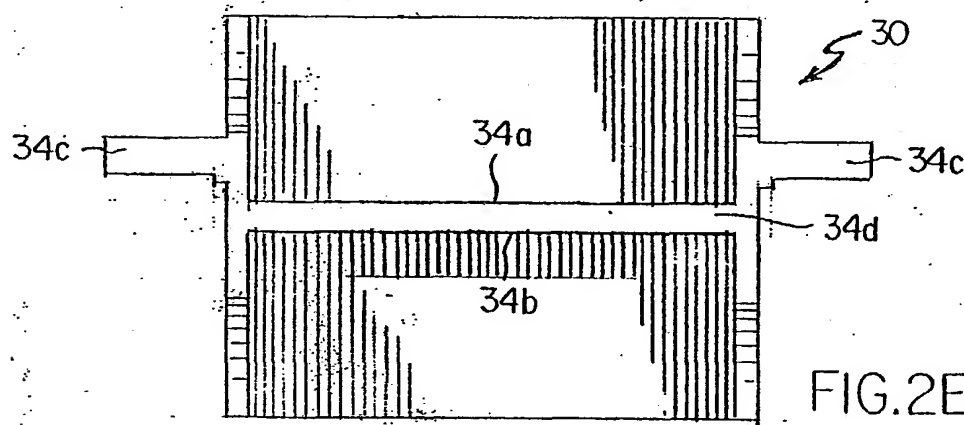
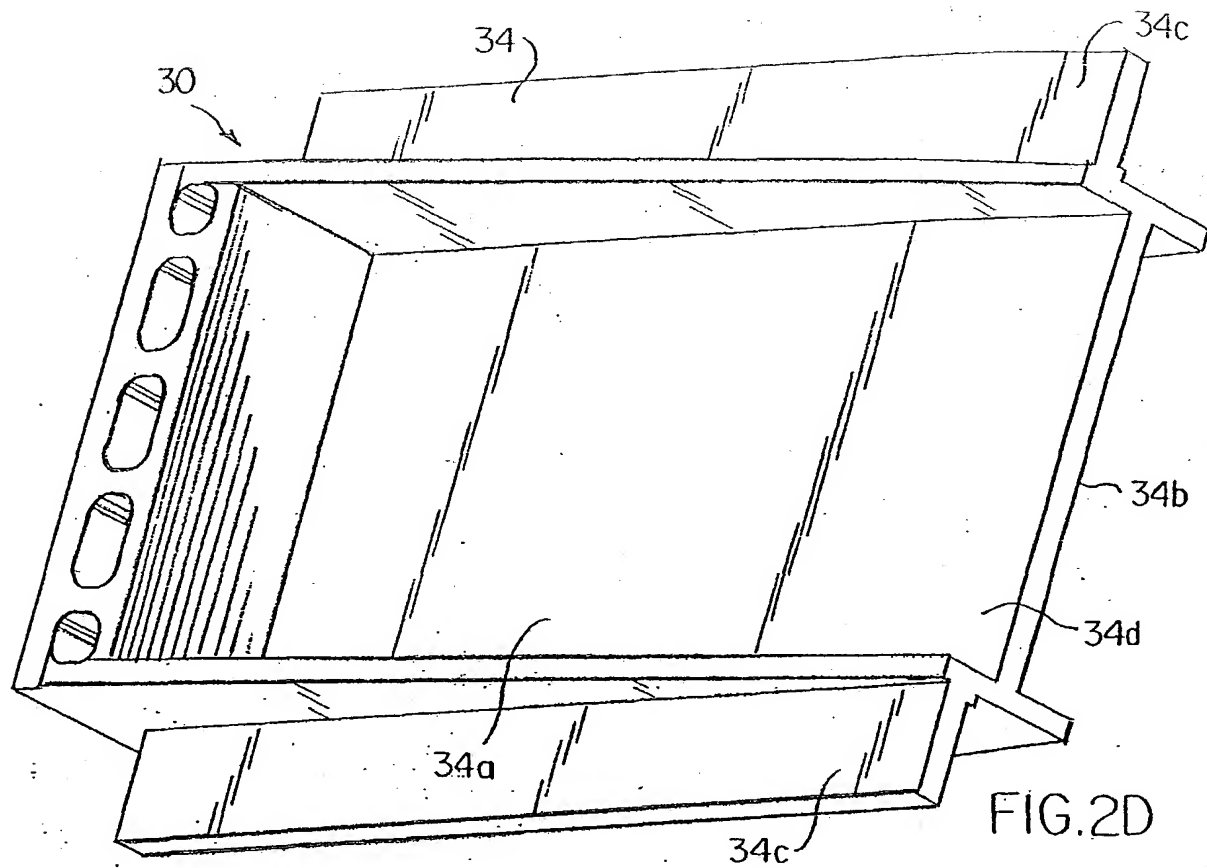
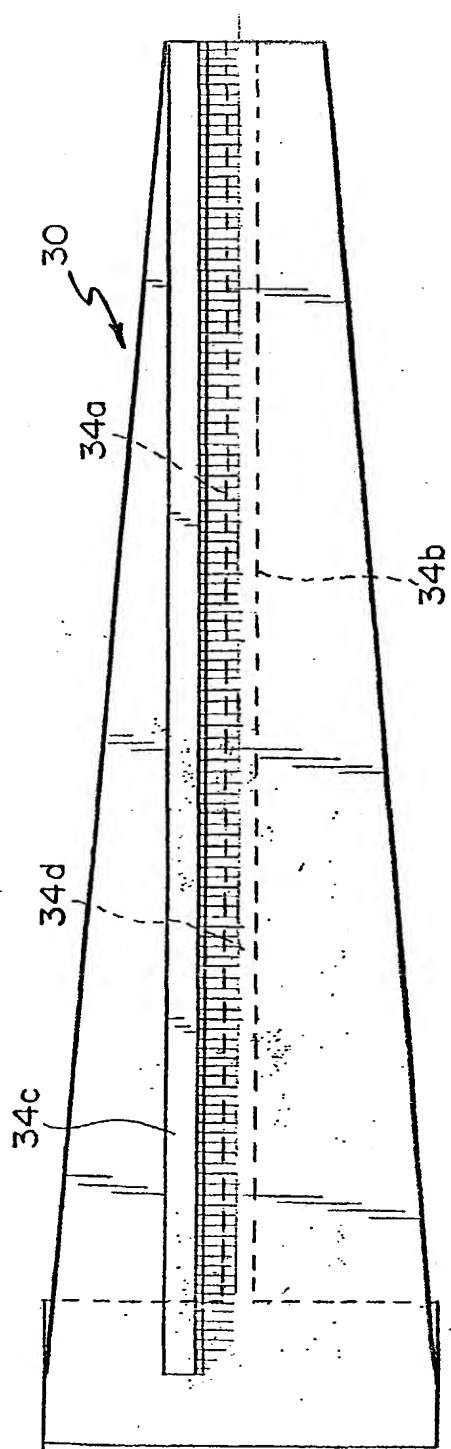


FIG. 2C





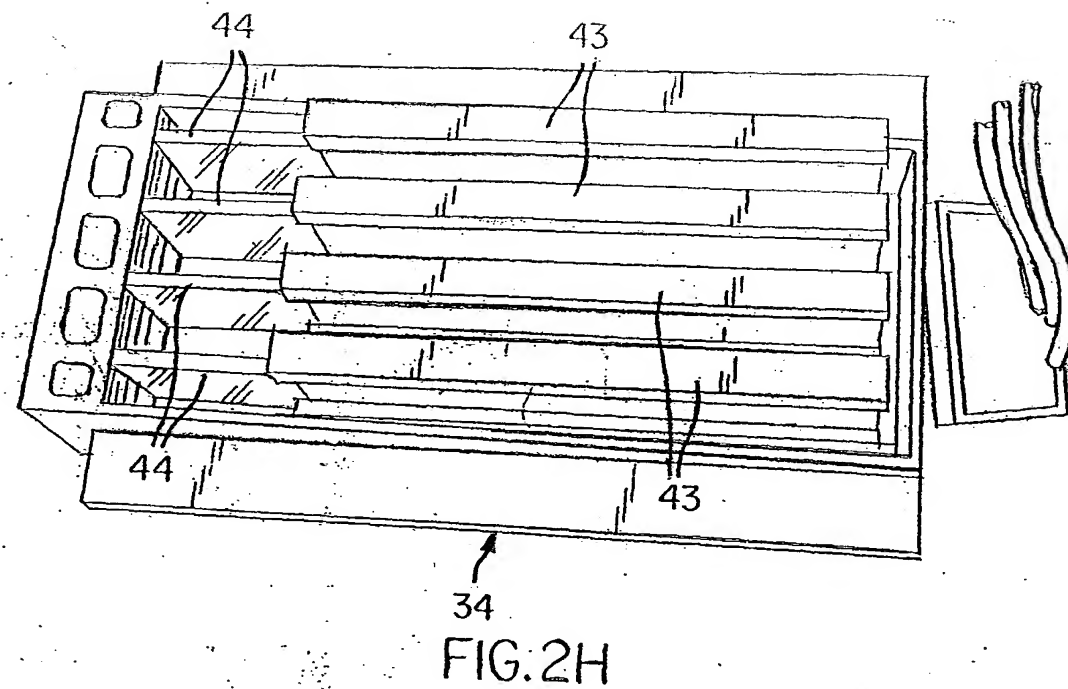


FIG. 2H

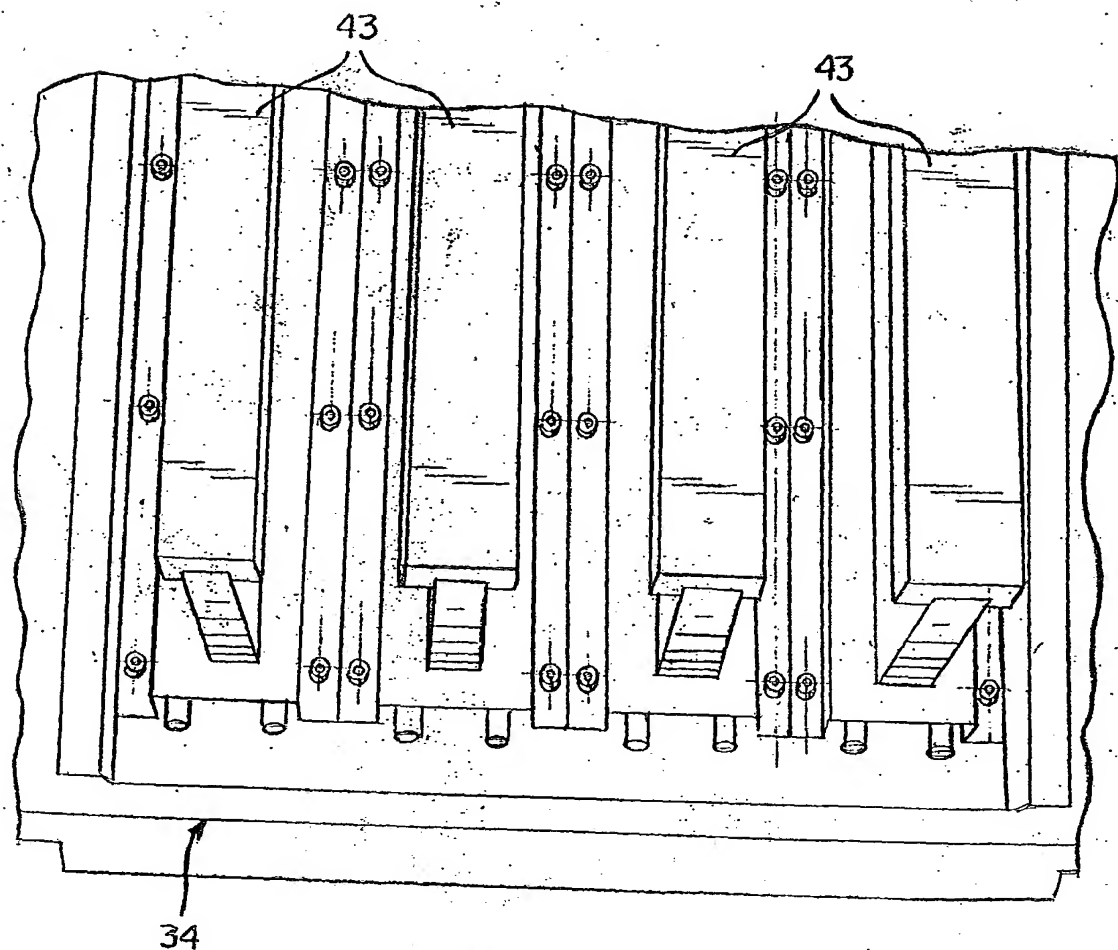
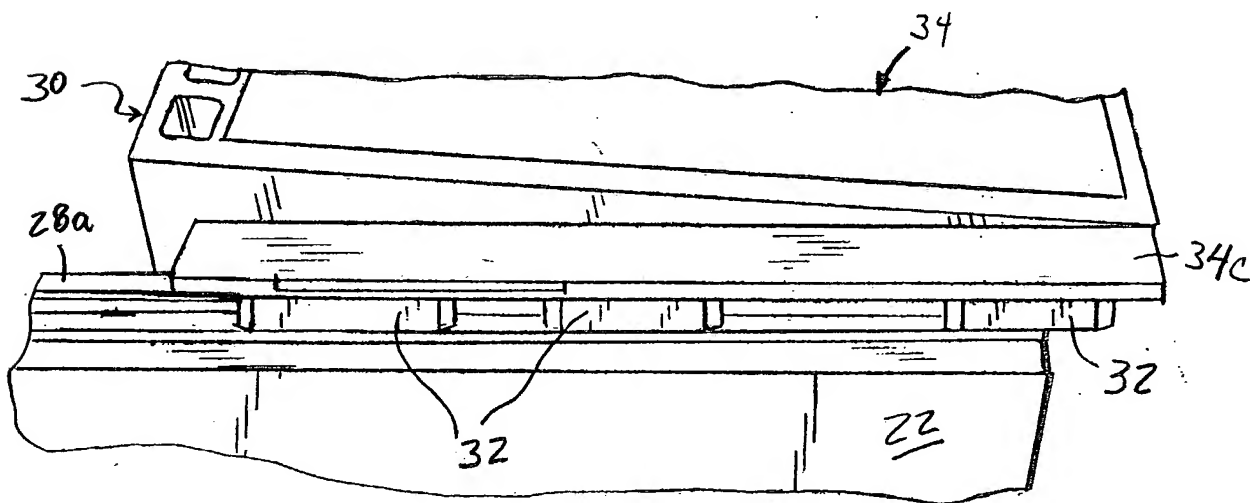
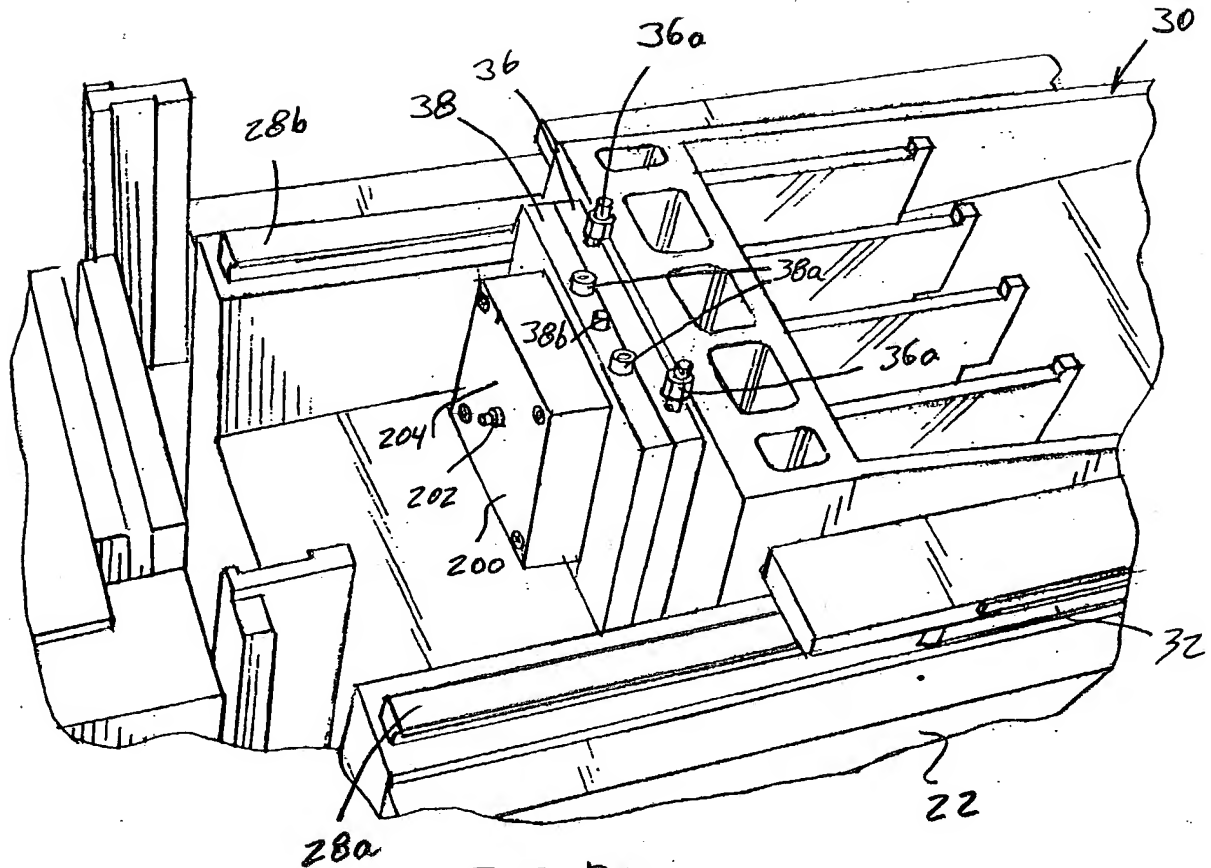


FIG. 2I



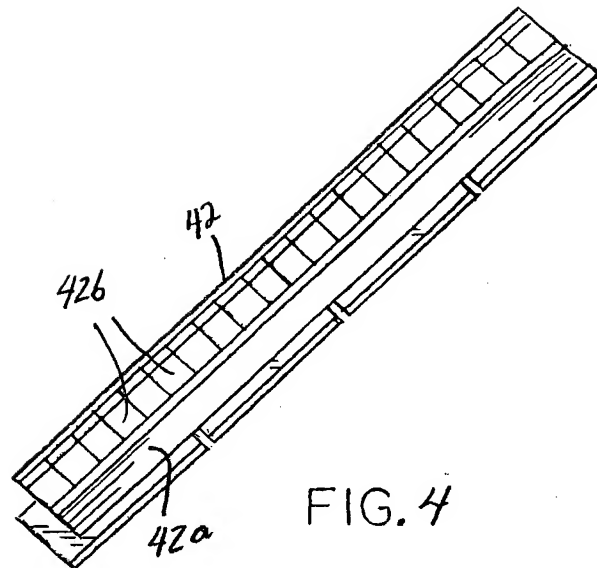


FIG. 4

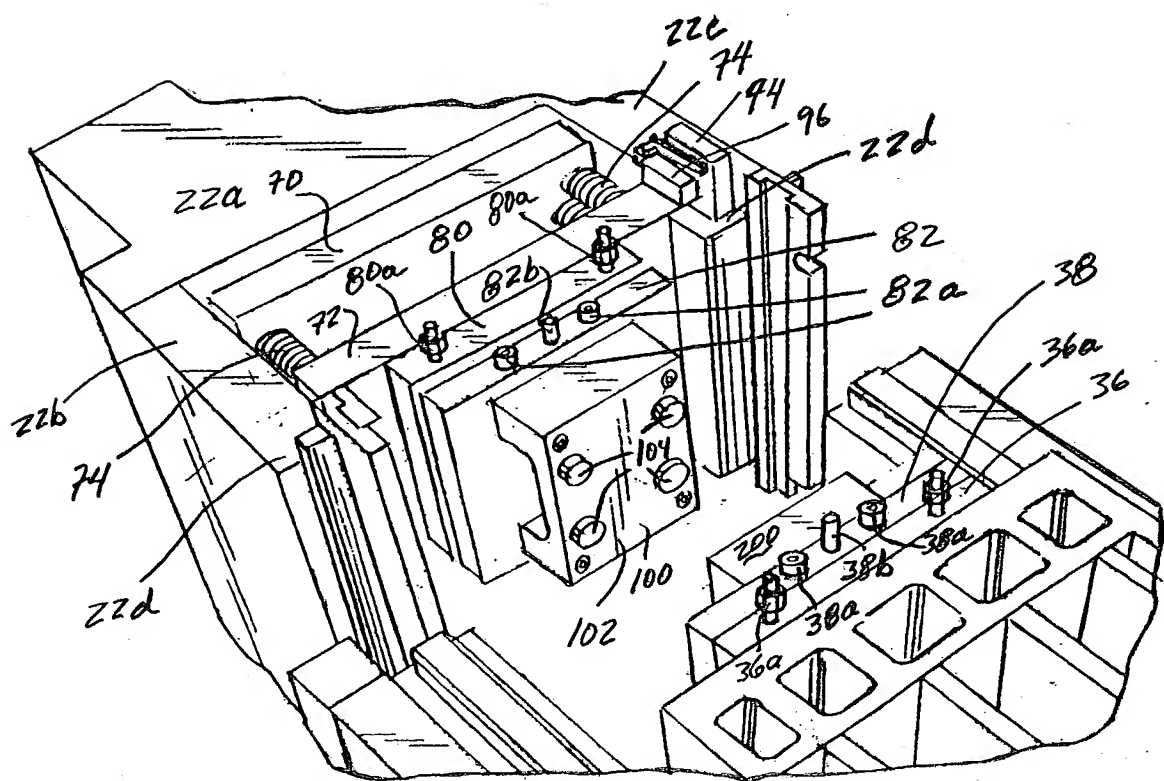


FIG. 5

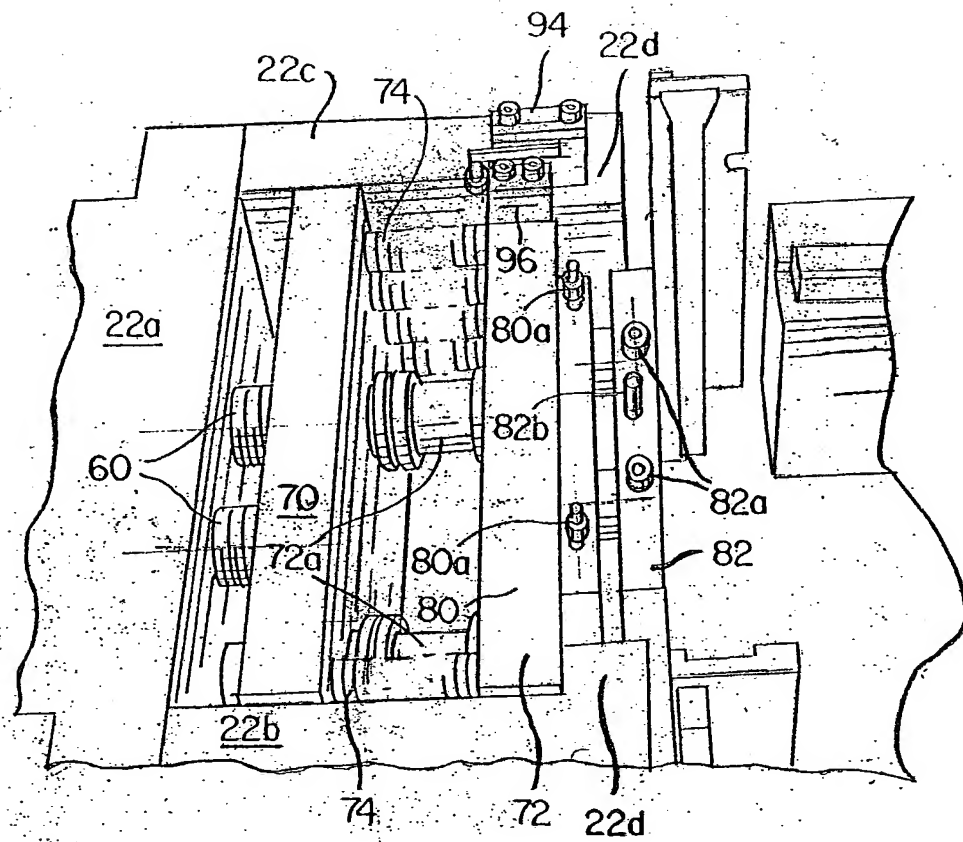


FIG. 6

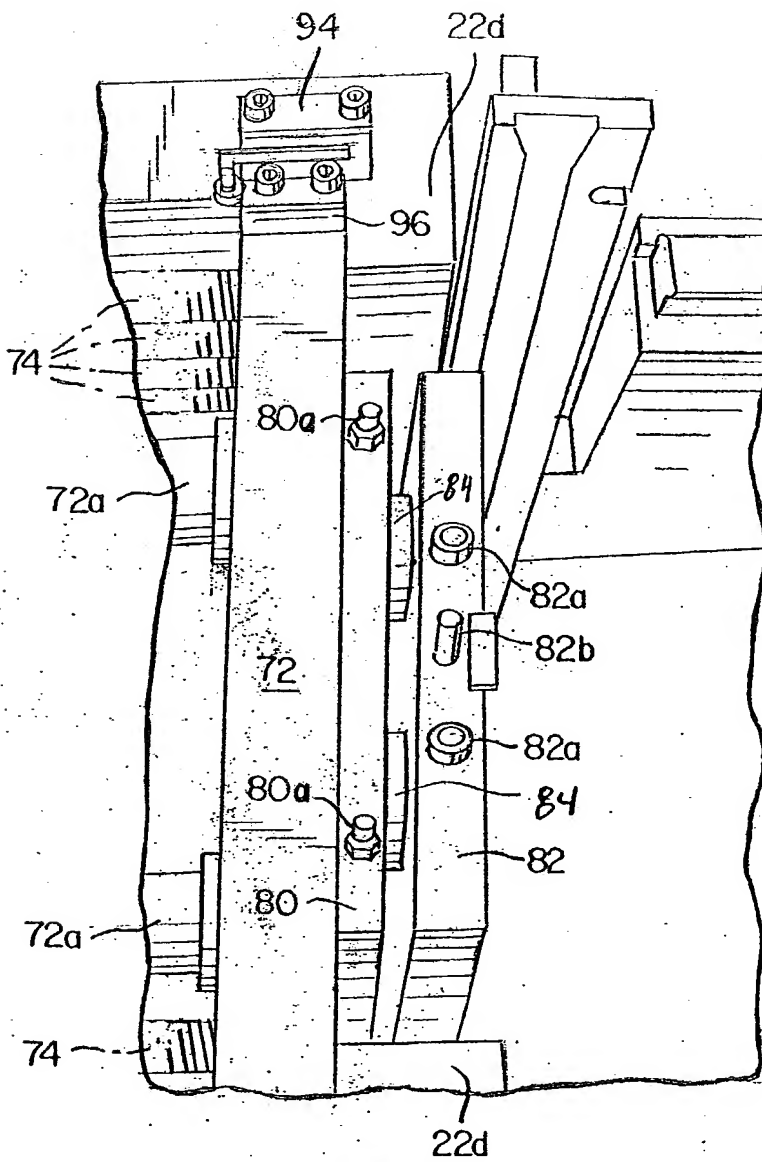


FIG.6A

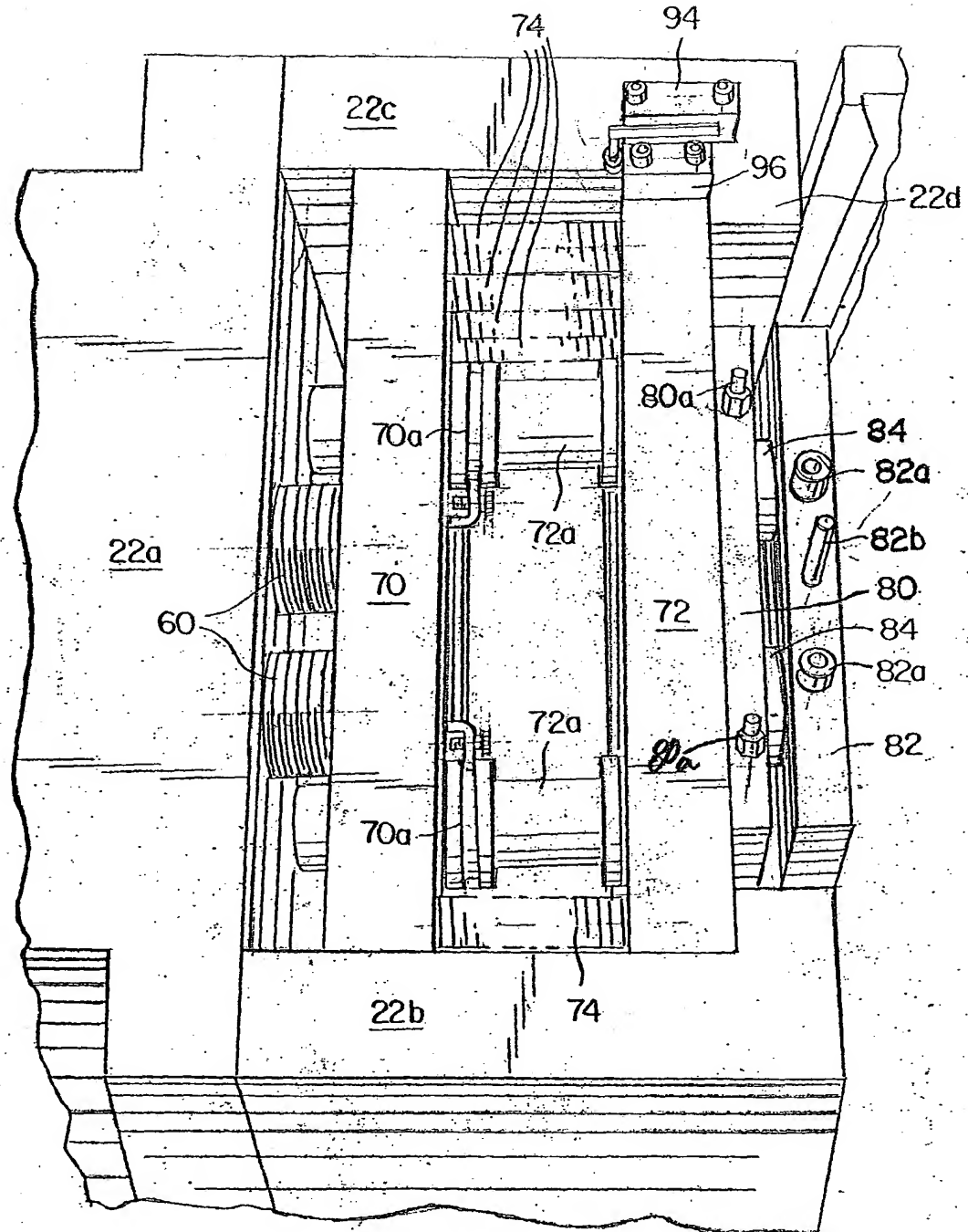


FIG. 7

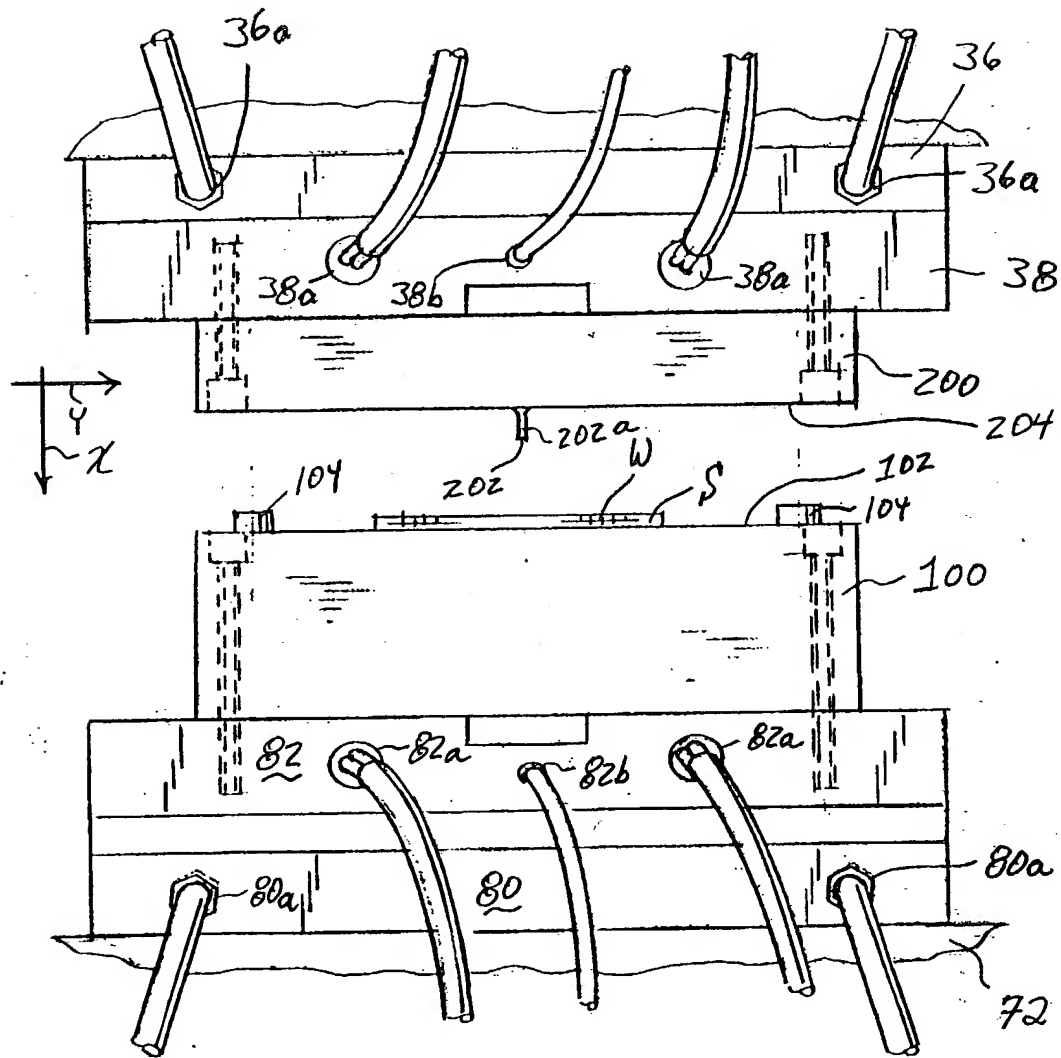


FIG. 8

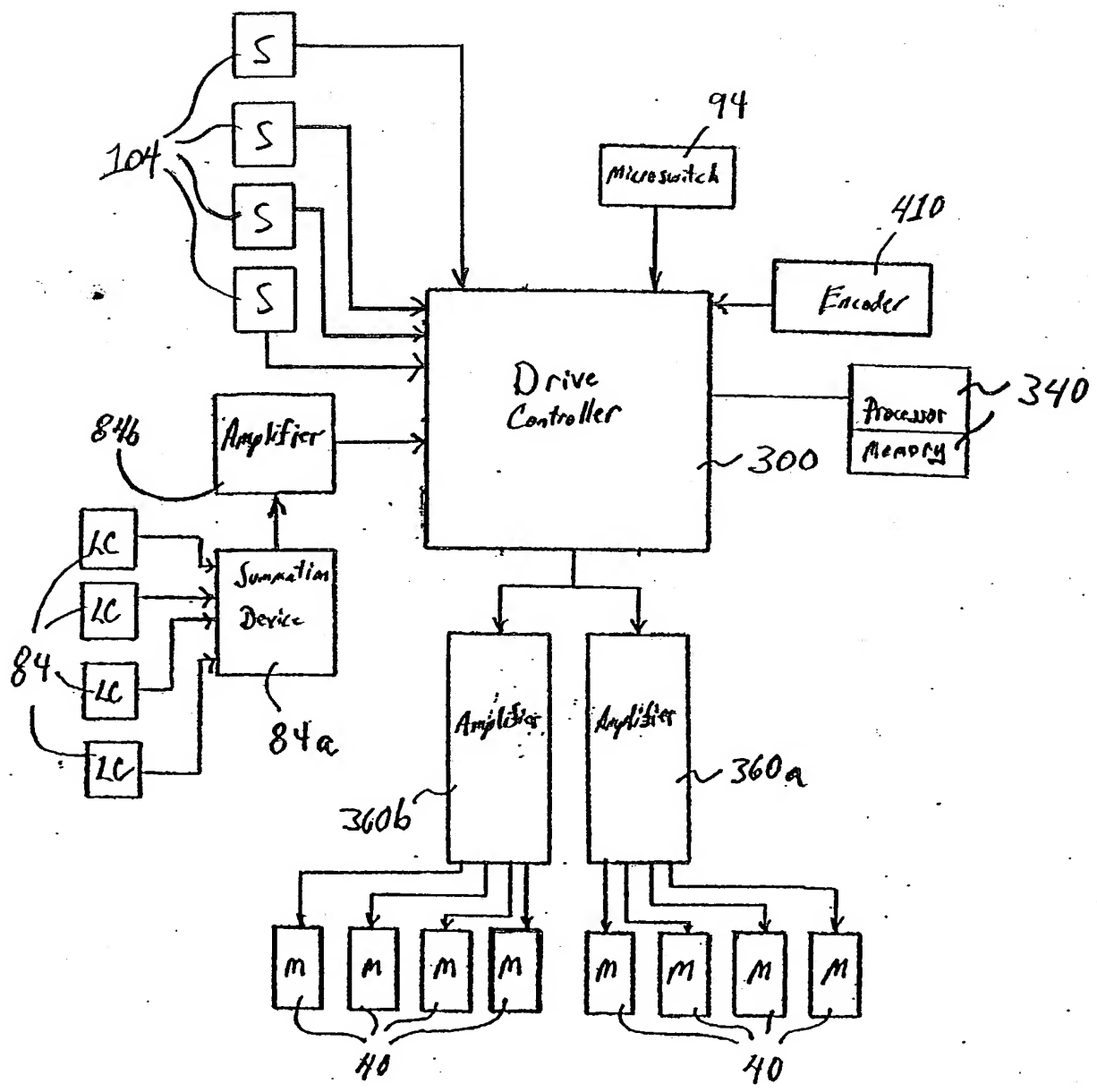


Fig. 9

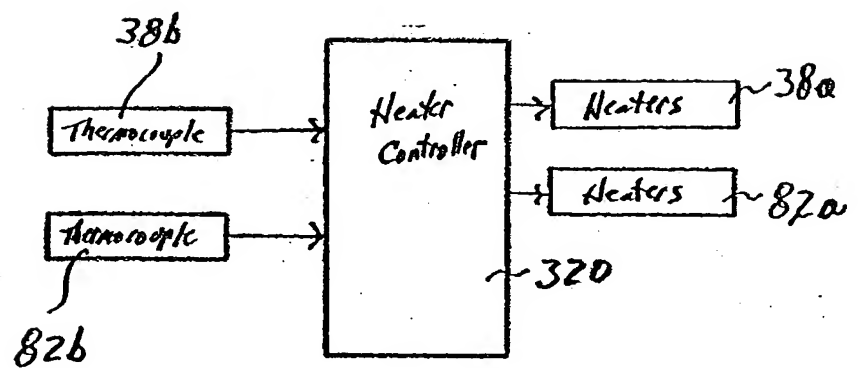


Fig. 9 A

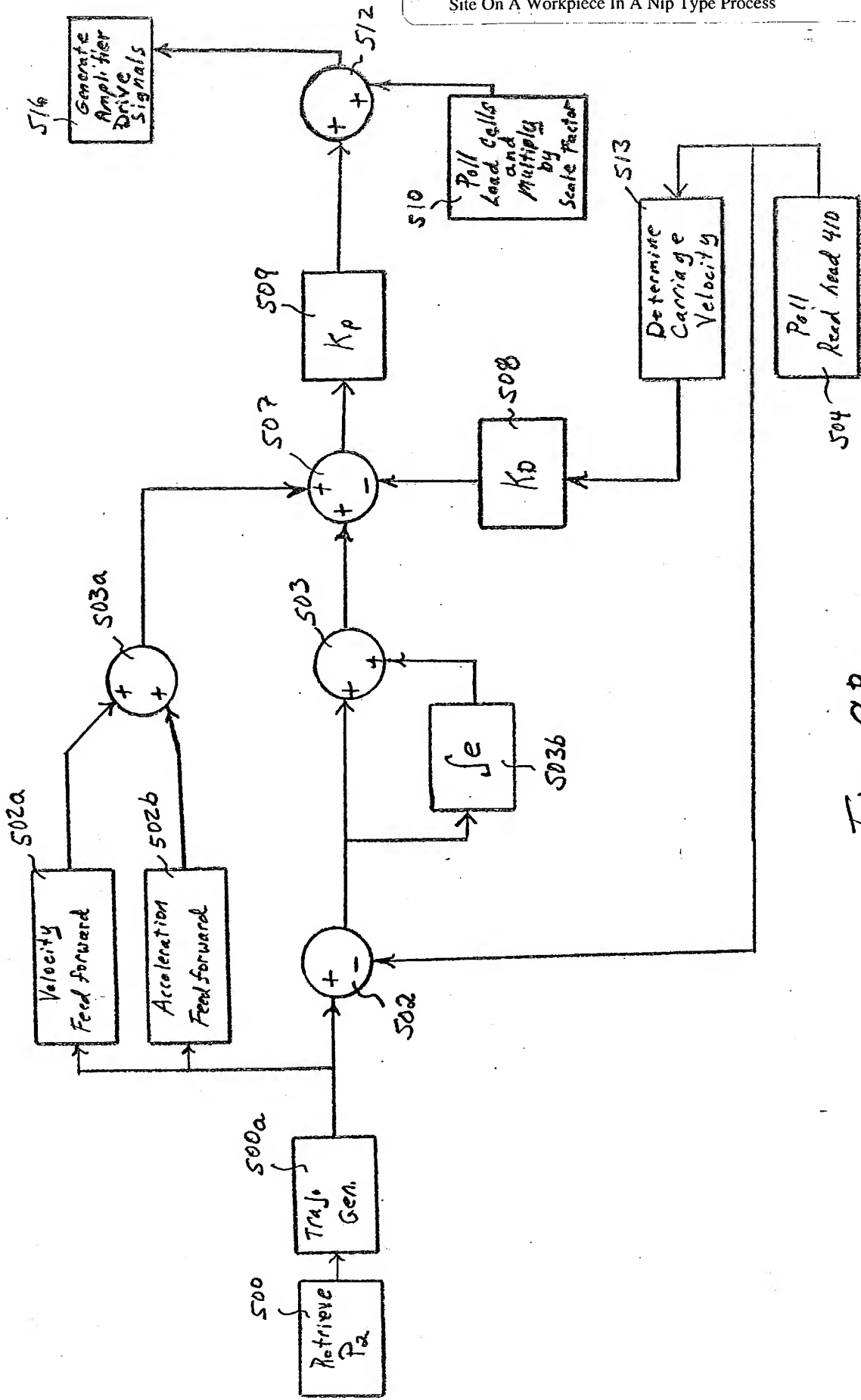


Fig. 9B

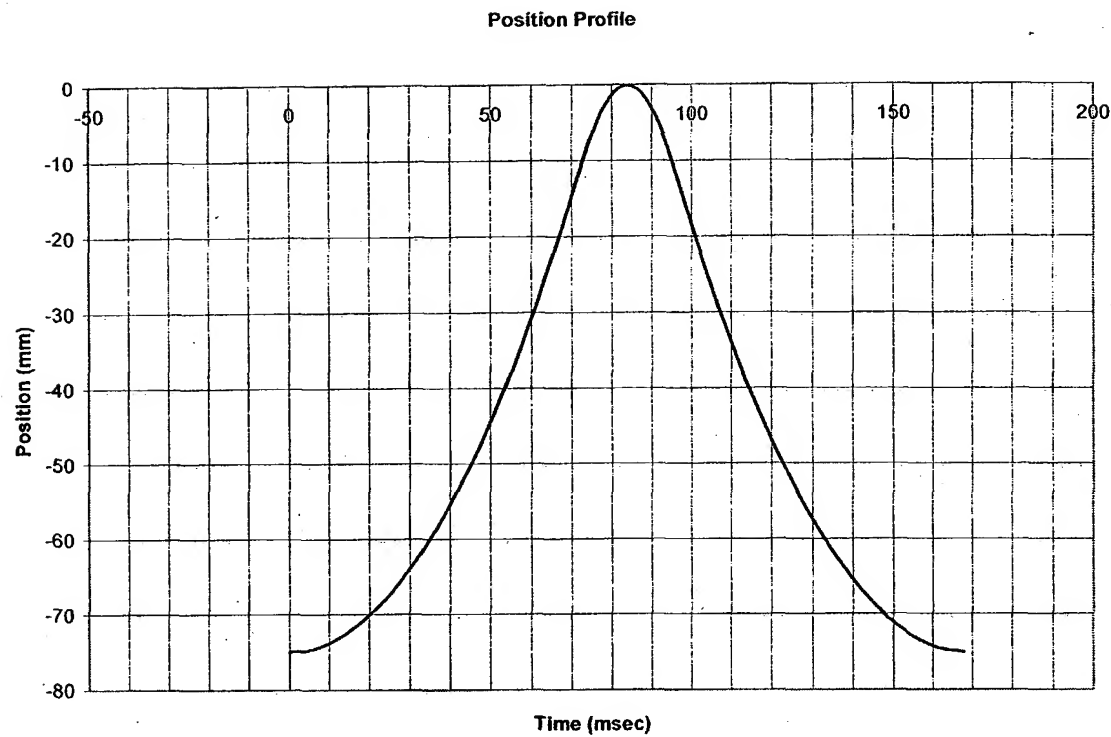


Fig. 10A

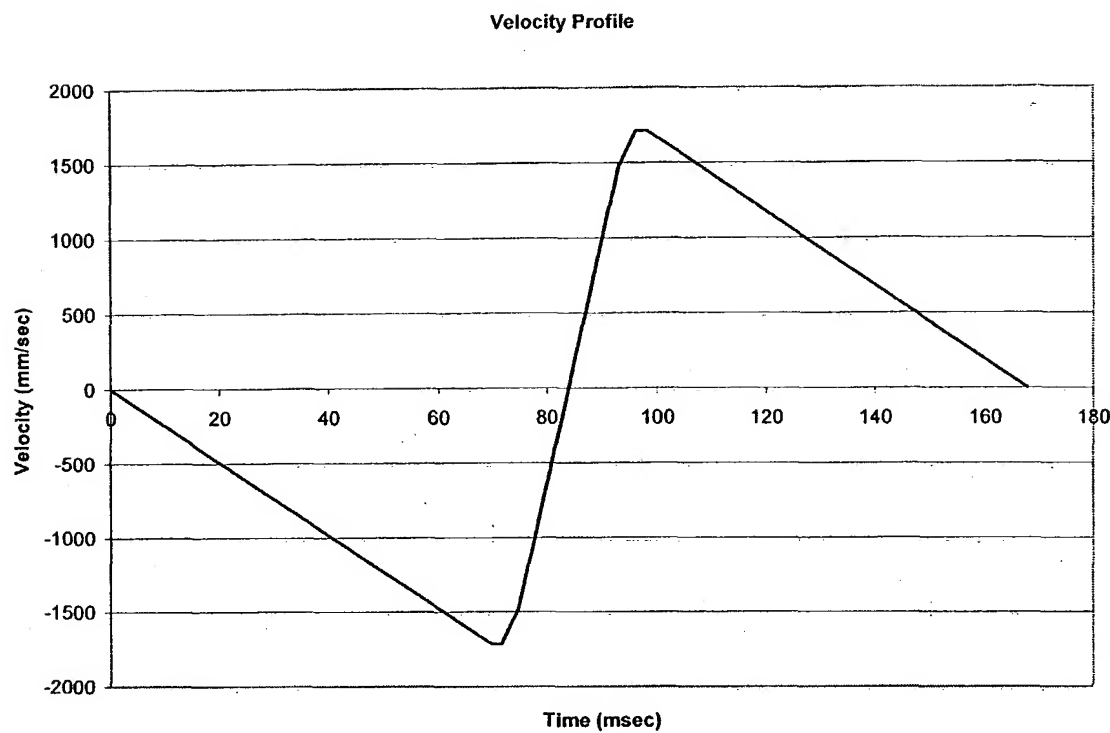


Fig. 10B

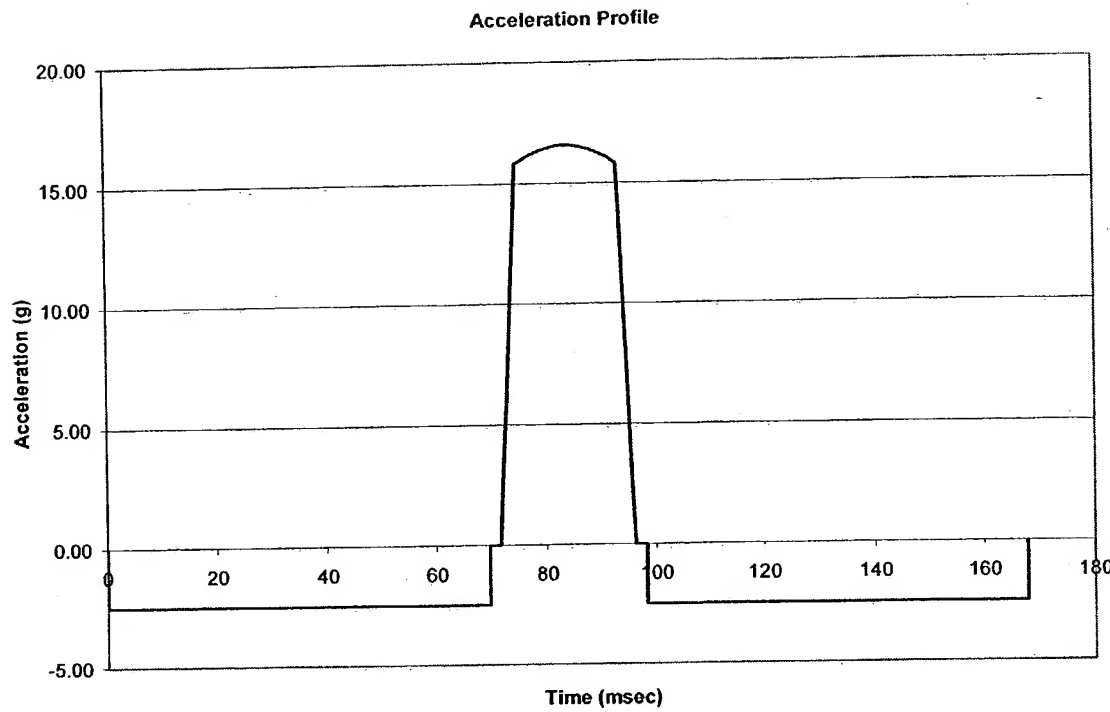


Fig. 10 C

Rotary Nip Simulation
Fusion Bonding of Polyethylene Film

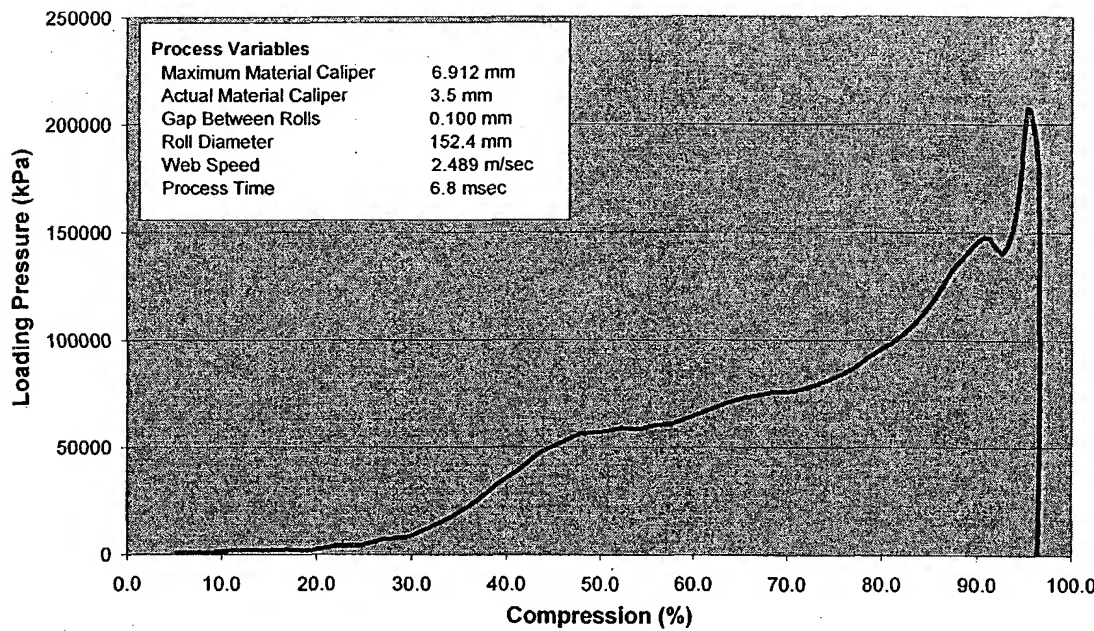


Fig. 11